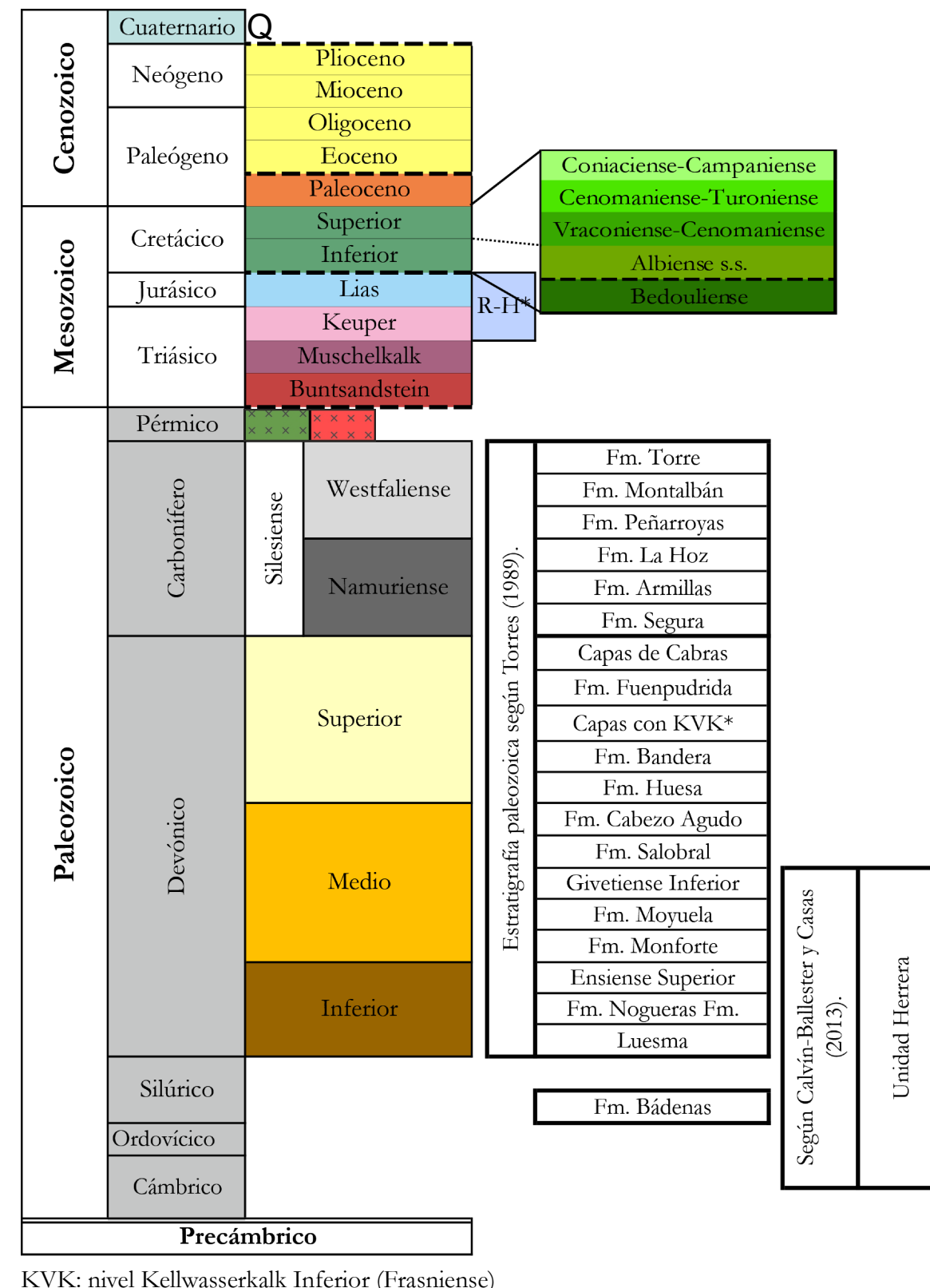


Estudio estructural del extremo NO del Macizo de Montalbán (entre Segura de los Baños y Maicas)

Anexo 1: Mapa geológico y columna geocronológica

Datum: ETRS 1989

Sistema de coordenadas: UTM Huso 30T



KVK: nivel Kellwasserkalk Inferior (Frasniense)

R-H: Retiense-Hetangiense

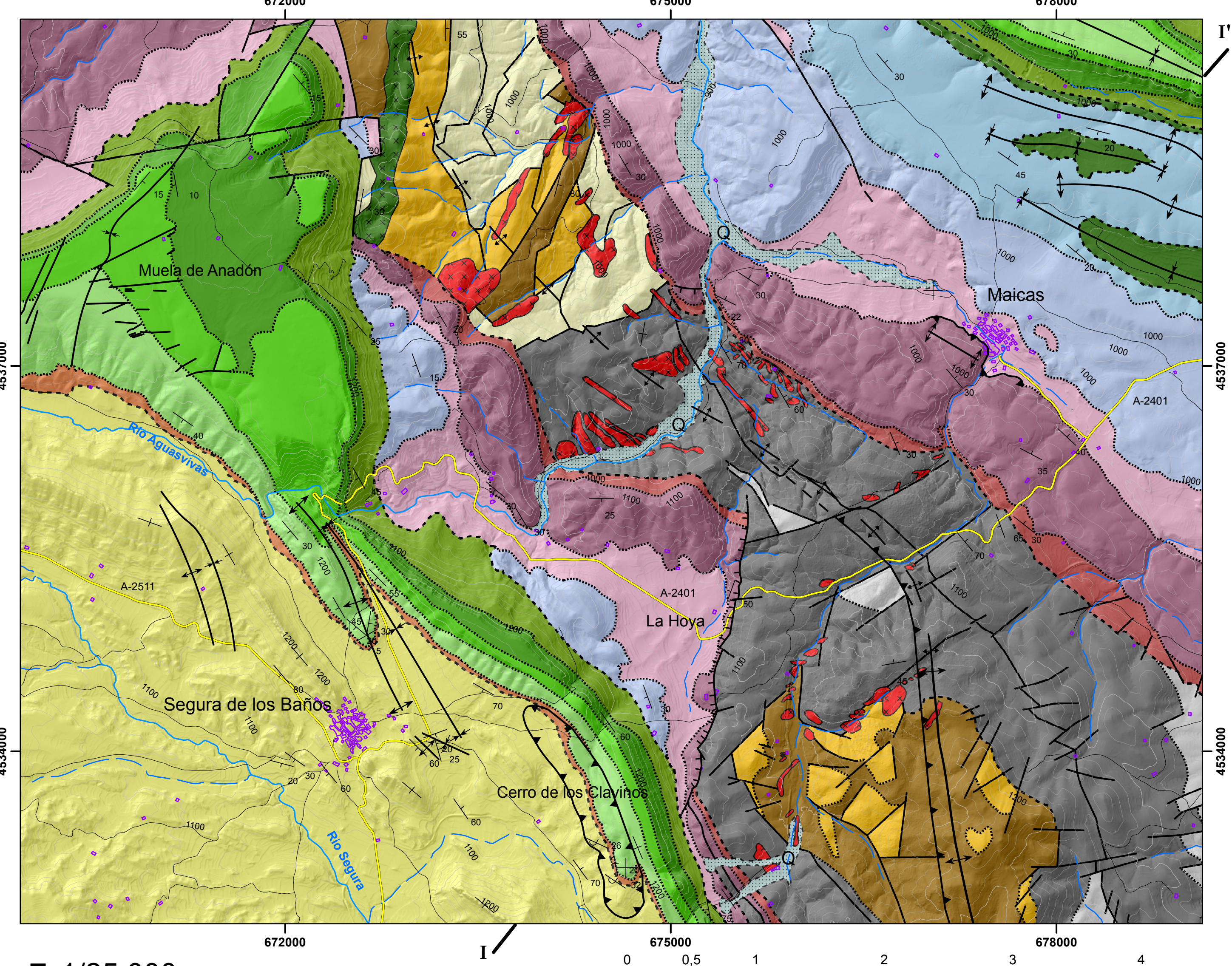
Intrusiones pérmicas según Torres (1989)

██████ Intrusión ígnea (cuarzo-diabases)

█████ Intrusión ígnea (riolitas)

Signos convencionales

- | | | | |
|-----|---|-----------|--------------------------------|
| —+— | Dirección y buzamiento | ······· | Contacto normal o concordante |
| —+— | Buzamiento subvertical | - - - - - | Contacto por discordancia |
| —+— | Buzamiento subhorizontal | — | Contacto tectónico o por falla |
| —+— | Dirección y buzamiento invertido | — | Carretera autonómica |
| —+— | Traza axial del anticlinal | — | Carretera/pista local |
| —+— | Traza axial del sinclinal | — | Río |
| —+— | Falla normal | — | Barranco |
| ▲—▲ | Falla inversa o cabalgamiento | — | |
| ↔ ↔ | Traza axial definida a partir de la disposición de la serie mesozoica | — | |

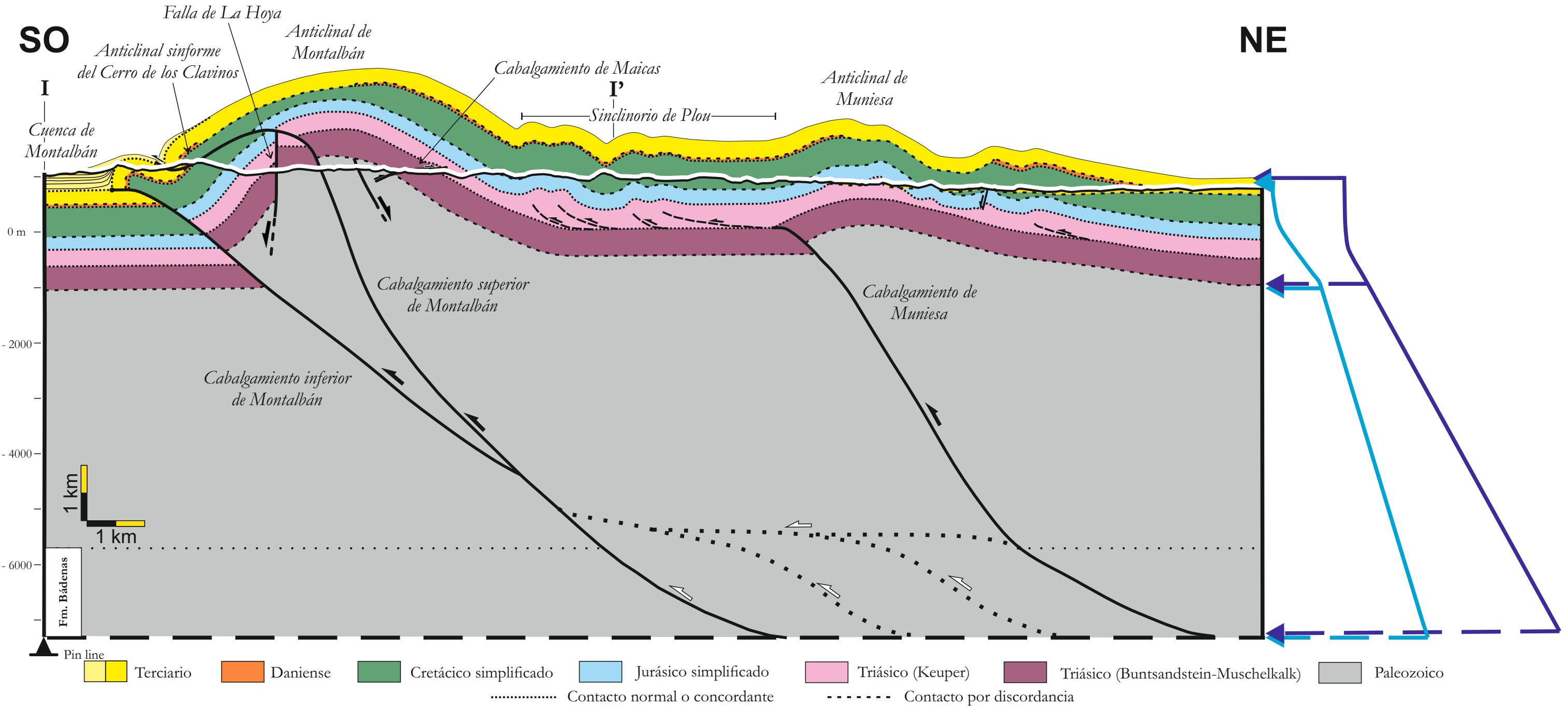


Base cartográfica: Modelo Digital de Elevaciones generado a partir de datos LIDAR.

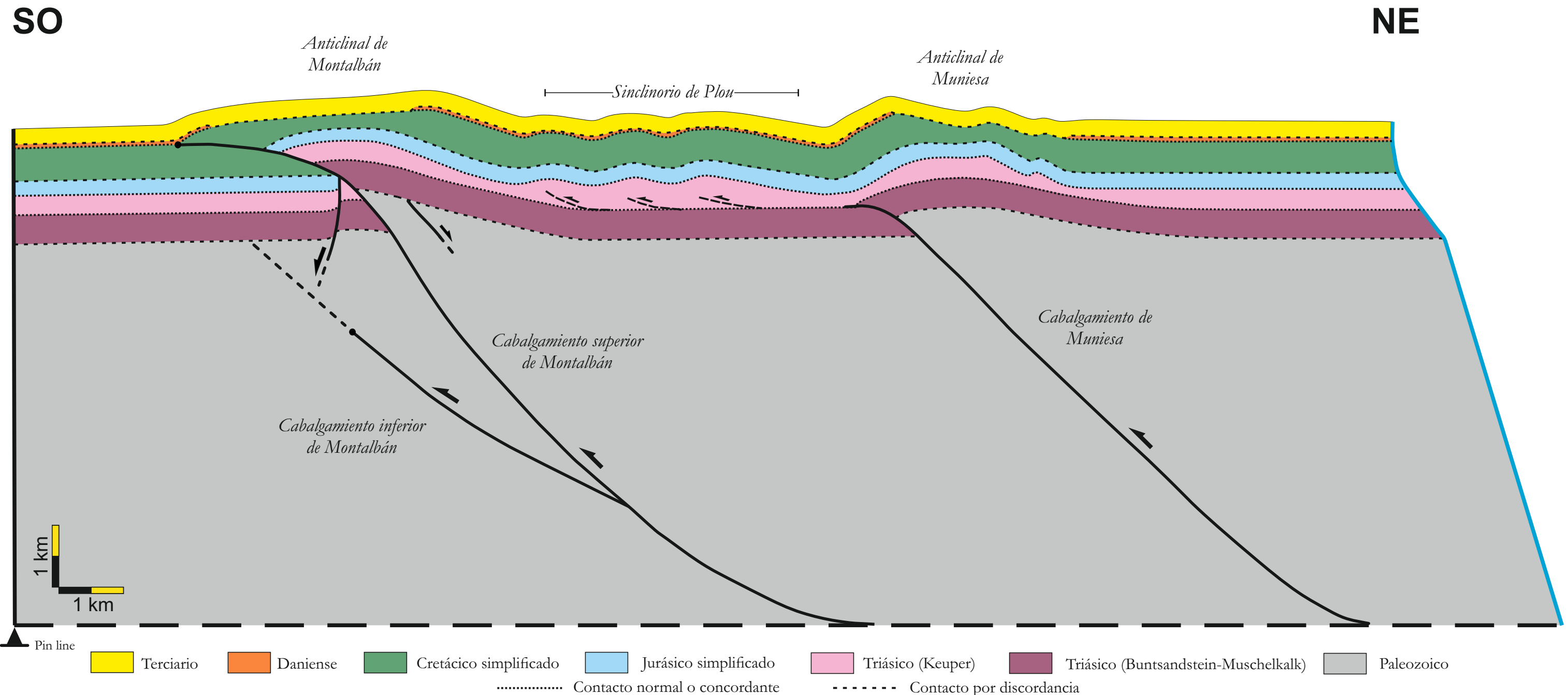
I-I': Corte geológico del Anexo 2.

Curvas de nivel cada 20 y 100 metros.

Anexo 2



Anexo 3

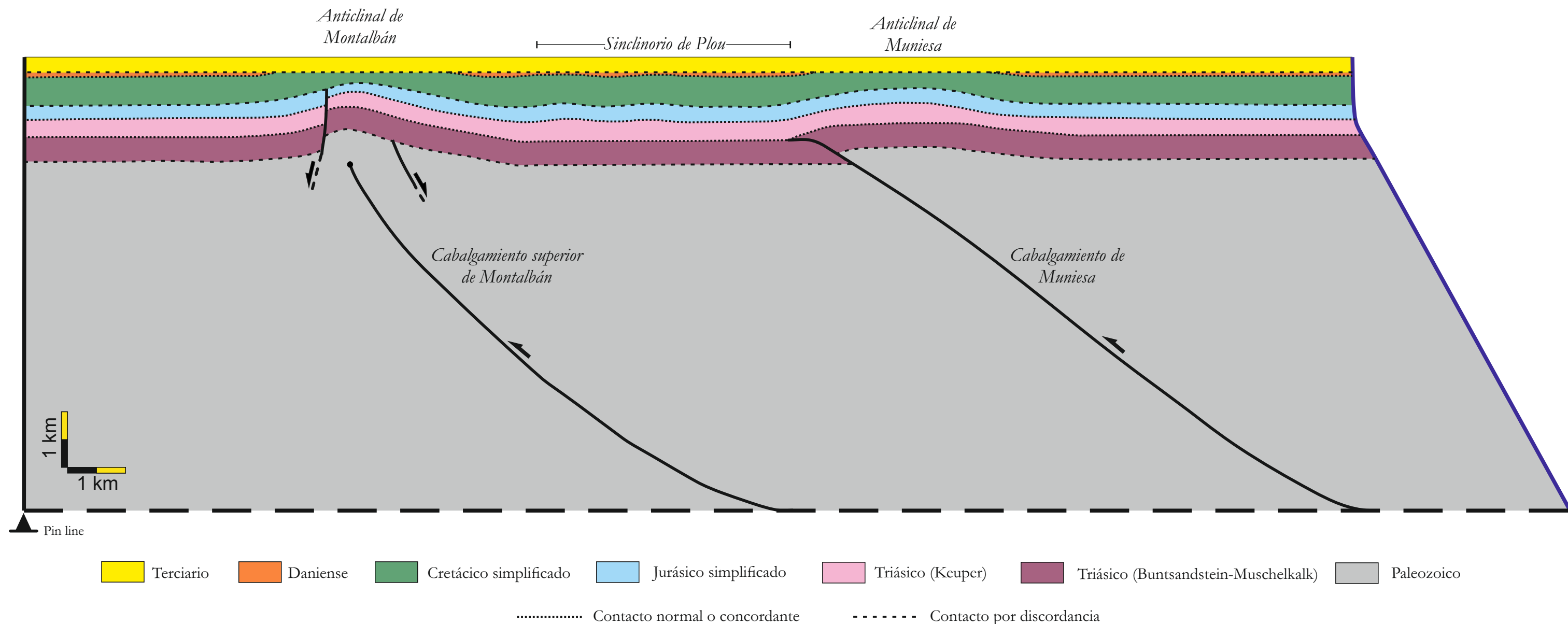


Anexo 3: Corte geológico parcialmente restituido que ilustra el inicio del levantamiento del anticlinal de Montalbán durante el Paleoceno-Eoceno, y la formación del cabalgamiento inferior de Montalbán como una falla de atajo.

Anexo 4

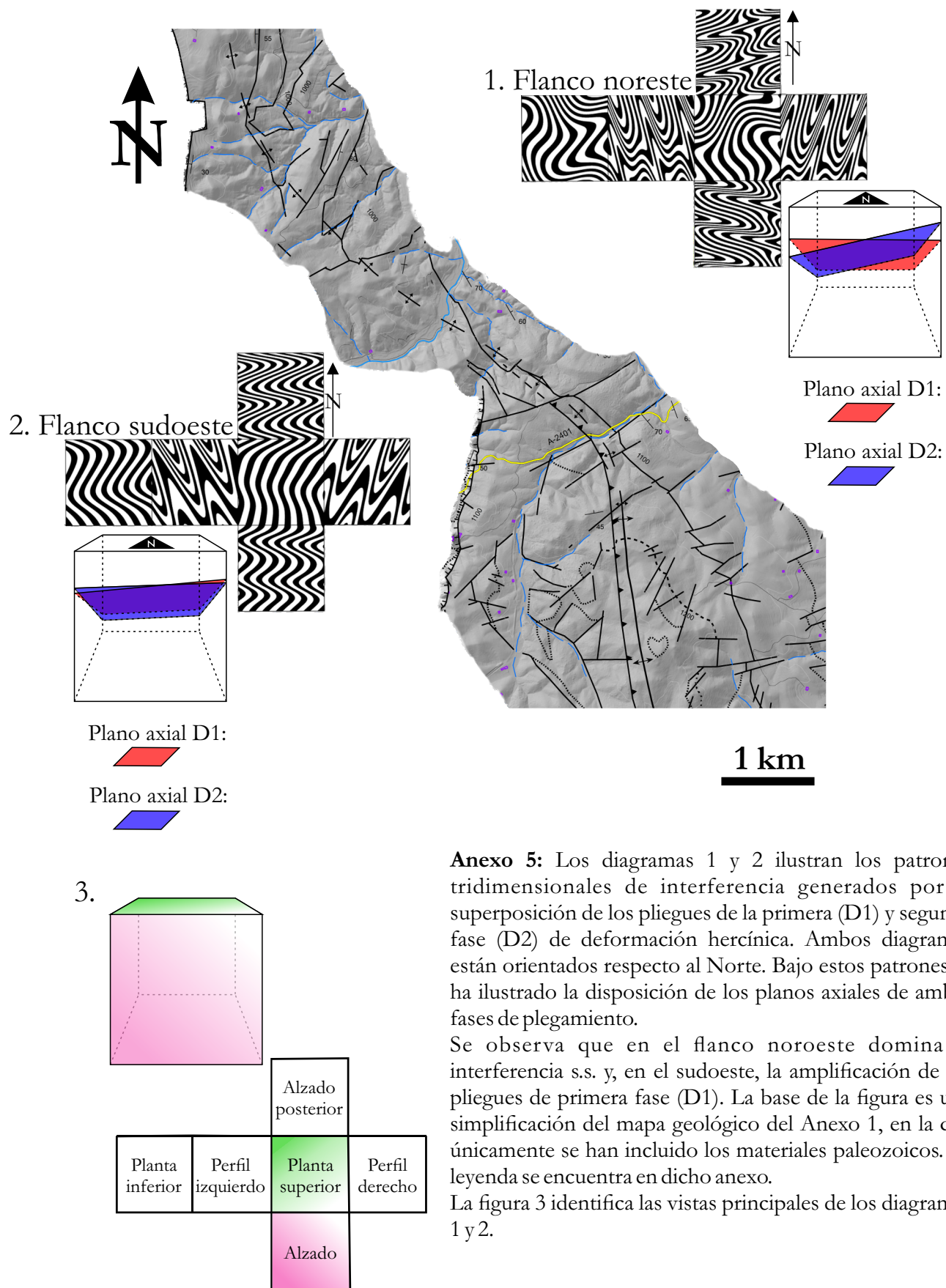
SO

NE



Anexo 4: Corte geológico restituido al depósito del Terciario indiferenciado (Paleoceno-Eoceno Medio).

Anexo 5: Patrones de interferencia del plegamiento hercínico



Anexo 5: Los diagramas 1 y 2 ilustran los patrones tridimensionales de interferencia generados por la superposición de los pliegues de la primera (D1) y segunda fase (D2) de deformación hercínica. Ambos diagramas están orientados respecto al Norte. Bajo estos patrones se ha ilustrado la disposición de los planos axiales de ambas fases de plegamiento.

Se observa que en el flanco noroeste domina la interferencia s.s. y, en el sudoeste, la amplificación de los pliegues de primera fase (D1). La base de la figura es una simplificación del mapa geológico del Anexo 1, en la que únicamente se han incluido los materiales paleozoicos. La leyenda se encuentra en dicho anexo.

La figura 3 identifica las vistas principales de los diagramas 1 y 2.

Anexo 6: Datos estructurales

	Dirección	Buzamiento	Dirección de buzamiento		Dirección	Buzamiento	Dirección de buzamiento
Mesozoico-Cenozoico	Estratificación (S0)			Mesozoico-Cenozoico	Estratificación (S0)		
	85	15	S		330	48	E
	314	28	N		330	50	E
	314	39	N		302	32	N
	325	35	E		140	83	W
	315	31	N		320	30	E
	274	32	N		317	35	E
	260	28	N		317	28	E
	340	32	E		140	56	W
	335	26	E		120	28	S
	335	82	E		132	36	S
	323	86	E		105	22	S
	303	32	N		122	32	S
	297	32	N		116	36	S
	296	27	N		127	31	S
	296	22	N		108	38	S
	313	30	N		132	34	S
	308	28	N		135	35	S
	200	45	W		179	25	W
	200	52	W		167	30	W
	155	42	W		146	26	W
	144	48	W		144	31	W
	145	52	W		150	29	W
	100	13	S		151	30	W
	145	60	W		149	32	W
	140	56	W		163	19	W
	350	75	E		124	24	S
	145	90	W		135	32	S
	310	67	N		161	14	W
	150	38	W		144	13	W
	307	36	N		138	13	W
	313	63	N		189	13	W
	157	90	W		141	24	W
	155	65	W		58	3	S
	350	23	E		129	22	S
	350	13	E		129	17	S
	295	26	N		40	16	E
	304	32	N		9	29	E
	330	44	E		346	29	E
	324	85	E		359	56	E
	325	62	E		10	49	E
	70	20	S		24	50	E
	344	24	E		3	50	E
	135	58	S		356	45	E
	165	47	W		120	76	S
	310	37	N		125	70	S

		Dirección	Buzamiento	Dirección de buzamiento			Dirección	Buzamiento	Dirección de buzamiento
Mesozoico-Cenozoico	Estratificación (S0)	140	26	W	Mesozoico-Cenozoico	Estratificación (S0)	313	38	N
		190	33	W			316	38	E
		135	30	S			1	41	E
Paleozoico	Estratificación (S1)	153	46	W	Paleozoico	Estratificación (S1)	0	43	E
		150	52	W			3	43	E
		150	53	W			2	41	E
Esquistosidad (S1)		148	46	W	Esquistosidad (S1)		336	40	E
		138	54	W			321	42	E
		137	37	W			317	40	E
		142	45	W			355	36	E
		144	41	W			320	30	E
		139	47	W			317	35	E
		140	44	W			317	28	E
		128	54	S			147	73	W
		133	52	S			150	70	W
		127	59	S			125	44	S
		135	45	S			115	42	S
		136	51	W			105	63	S
		139	58	W			172	65	W
		107	68	S			162	72	W
		116	71	S			160	68	W
		201	59	W			158	62	W
		209	50	W			296	23	N
		201	49	W			290	23	N
		315	38	N			290	19	N
		305	34	N			320	70	E
		336	45	E			295	65	N
		333	45	E			227	40	N
		291	47	N			280	26	N
		318	32	E			287	29	N
		314	43	N			280	25	N
		298	35	N			290	27	N
		317	39	E			295	30	N
		316	30	E			291	30	N
		320	33	E			215	65	W
		0	7	E			357	42	E
		328	3	E			358	37	E
		173	4	W			265	20	N
		251	12	N			65	20	S
		309	15	N			330	82	E
		291	14	N			120	42	S
		298	22	N			344	86	E
		291	24	N			233	40	N
		312	19	N			325	70	E

Paleozoico						
Plano Axial (D1)	Esquistosidad (S1)		Plano Axial (D2)	Dirección de buzamiento		
	276	38		N		
	310	60		N		
	230	36		N		
	195	52		W		
	203	58		W		
	195	54		W		
	190	56		W		
	250	43		N		
	253	48		N		
	237	36		N		
	285	34		N		
	282	32		N		
	215	35		W		
	227	30		N		
	225	26		W		
	315	32		N		
Plano Axial (D2)	Plano Axial (D1)		Plano Axial (D2)	Dirección de buzamiento		
	235	45		N		
	225	32		W		
	267	70		N		
	250	37		N		
	320	56		E		
	325	57		E		
	240	18		N		
	266	34		N		
	278	11		N		
	246	42		N		
	245	24		N		
	275	32		N		
	277	33		N		
	225	35		W		
	225	32		W		
	225	33		W		
	225	40		W		
Paleozoico			Línea de charnela (D1)	Inmersión		
				325	12	
				335	10	
				330	15	
				305	30	
				328	27	
				325	25	
				335	31	
				340	33	
				345	17	
				346	34	
				344	28	
				335	20	
				340	19	
				330	12	
				340	17	
				335	18	
Paleozoico			Línea de charnela (D2)	Inmersión		
				10	2	
				14	7	
				18	3	
				30	28	
				76	14	
				80	35	
				60	40	
				49	25	
				52	19	

	Dirección	Inmersión
Paleoz.	45	22
Lín. Ch (D2)	15	15
	28	40
	40	22

Nota: los datos señalados en cursiva han sido cedidos por Estefanía Górriz Ibáñez.